

دراسة ثرموديناميكية لامتصاص بعض الصبغات على سطح طين الكاولين

العربي

سعد عزيز حسن ، لقاء حسين كاظم
جامعة الكوفة / كلية التربية للبنات / قسم الكيمياء

Thermodynamics Study for Adsorption of Dyes on The Iraqi
Kaolin Clay Surface

By

S.A.Hassan , L.H.Kadhim

*Kufa University / Women College of
Education / Chemistry Department*

على السطح يكون ارتباطها مع السطح بشكل مائل او افقي لذلك ستكون اكثر انتظاما واقل حرقة واتضح ان الامتصاص تحت تاثير الدالة الحامضية بالنسبة لصبغة الكونكوا الاحمر يتبع الترتيب الاتي:-

pH 10 > 3 > 7
ولصبغة الاحمر المتعادل يتبع الترتيب الاتي :
pH 3 > 7 > 10

اما لصبغتي البرلت ازرق G250 والسفريانين .
يتبع الترتيب الاتي:-

الخلاصة:-

تضمن موضوع البحث دراسة امتصاص كل من صبغات الكونكوا الاحمر، البرلت ازرق جي ٢٥، السفرانين O والاحمر المتعادل من محليلها المائية على سطح طين الكاولين العراقي الابيض. استعملت مطياف الاشعة المرئية - فوق البنفسجية في تعين ايزوثيرمات الامتصاص. واوضحت ان الايزوثيرمات كانت من نوع (S₁,S₄,L₃) حسب تصنیف جيلز(Giles) والذي يتفق مع معادلتي فرندلش ولانكماير لامتصاص حيث وجد ان سعة الامتصاص تتناقص وفق الترتيب الاتي:-

Congo red > Brilliant blue G250 >
Safranine O > Neutral red

Abstract

This study was concerned with the adsorption of dyes from solution on the kaolin clay surface. In this work a U.V –visible spectrophotometric Technique has been used to study the adsorption isotherms, the isotherms were of types (S₁,S₄,L₃), according to giles classification and were in a good correlation with freundlich and langmuir equation. The extent of adsorption was followed the order.

Congo red > Brilliant blue G 250 >
Safranine O > Neutral red

ذلك تم دراسة تاثير درجة الحرارة وضفت المدى الحراري(303-333K) في عملية الامتصاص واوضحت النتائج ان كمية الامتصاص قد تزداد بزيادة درجة الحرارة (Endothermic) او تنقص بزيادة ΔG درجة الحرارة (Exothermic)،اما قيم فاشارت جميعها الى ان عملية الامتصاص تلقائية ضمن الظروف التجريبية. بينما نجد قيم ΔS متفاوته وكانت قيمتها اكبر سلبيا في حالة صبغة البرلت ازرق جي ٢٥. وهذا يدل على ان المقدار المنشط المتكون اكثرا انتظاما بسبب ارتباطه مع ايونات السطح اما في حالة الصبغات الاخرى فيكون المقدار المنشط اقل انتظاما

العامة والمعوية، اضافة الى المواد العالقة والمنحلة،
واحد الحلول الممكنة لمعالجة مشكلة تلوث المياه
وتأمين المياه النظيفة بطريقة اقتصادية.

الجزء العملي:

الاجماعية المدرسية: تعلمات

- ١ - سجل اطیاف الاشعة فوق البنفسجية المرئية
 (U.V-Visible) باستعمال الاجهزه الآتية:

 - a- V.V.-Visible recording
 Spectrophotometer type Shimadzu
 (U.V.,100-02)
 - b- CECIL 1011,1000 Series
 Spectrophotometer ,(U.V-
 Visible),Farancy.
 - c- U.V-Visible Spectrophotometer
 Shimadzu (U.V.1700) , japan.

٢ - فرن تجفيف من نوع Memmort / W.Germany

٣ - ميزان كهربائي حساس من نوع Electronic Balance Sartorius /W.Germany

٤ - جهاز الطرد المركزي من نوع Centrifuge Magafuge 1.0 ,Herouse Sepatech

٥ - جهاز قياس الاس الهيدروجيني من نوع HANNA,PH - Meter,Instrument ,Portugal

٦ - جهاز قياس درجة الانصهار من نوع Stuart Melting Piont Apparatus

٧ - حمام مائي مزود بجهاز رج من نوع Inductor .GCA/Percision Scientific Chicago ,U.S.A.

٨ - جهاز قياس التوصيلية للمحاليل Conductivity Meter ,∞-
 800,Courtcloud Ltd in Dover, England

طین الكاولین

يعد الكاولين احد الاطيان المستعملة كمواد خام في الصناعة ومن اكثر المصادر المهمة

Adsorption on kaolin clay surface was examined as a function of temperature in the range (303-333 K). The extent of adsorption was found to increase with increasing temperature (Endothermic) in some time ,in the other time was found to decrease with increasing temperature (Exothermic).

Adsorption studies on kaolin clay surface at different pH value showed an increase in the following order according to the pH of solution :-for congo red

• for Congo Red
pH 10 > 3 > 7
While for the Neutral red is .
pH 3 > 7 > 10

And of Brilliant blue G250 , Safranine O is: .

pH 7 > 3 > 10

المقدمة:-

لتشكل المياه العذبة سوى ٢٠.٨ % من
اجمالي المياه على كوكب الارض وتتعرض حاليا
المياه لمختلف انواع التدهور، فهي تتلوث بالمخلفات
البشرية والصناعية والمبيدات والمواد الكيميائية
السامة اضافة الى النفايات المشعة والحرارة
العالية، حتى انه من النادر ان تصادف اليوم مياه
نظيفة في الطبيعة، وهذا ما يعيق التنمية ويعرض
ضرورة ايجاد تدابير جدية لتأمين الكيمايات الازمة
والمضمونة من الماء النظيف ومن اجل المحافظة
على نوعية الماء وحماية البيئة والصحة العامة اذ
تشير تقارير منظمة الصحة العالمية الى ان معظم
الامراض المنتشرة في الدول النامية ناتج عن تلوث
مياه الشرب وسوء الصرف الصحي كالتفويد
والتعب الكبد وشلل الاطفال، والملاط با(١-٥).

ونظراً للخواص العديدة التي يتمتع بها طين الكاولين العراقي ولكونه يتميز بمرنة عالية وسطوح امتزاز واسعة وفاعلة ،فإن دراسة التقنية يوسيطة عملية بذيرة بالاهتمام والمتابعة .

و جاء هذا البحث مساهمة في تحقيق هذا الغرض فهو يدرس جوانب من امكانات استعمال الكاولين الرخيص الثمن والمتوافر في مدينة النجف الاشرف ، في تبيح المياه وتنقيةها من الحراثة

خلط من اكاسيد فلزية عدة ، كما وجد انه يحتوي على نسبة عالية من السليكا تبلغ حوالي(٤٨.٥٧%) والالومينا (٣٥.٠٥%) وغيرها من الاكاسيد وكما في الجدول (١).

للحصول على المواد المعدنية، تعود اهمية هذا الطين الى تركيبة الكيميائي الذي يتخذ الهيئة السادسية^(١) ويعتبر من المكونات الاساسية لتربة الارض مع مجموعة اخرى من الانواع الطينية والتي تسمى الكاوفولينات ، واظهرت التحاليل الكيميائية للطين بانه

الجدول(١): نسب مكونات طين الكاوفولين المستعملة

Constituent	Wt%
SiO ₂	48.57
Al ₂ O ₃	35.05
CaO	0.6
MgO	0.77
K ₂ O	0.08
Fe ₂ O ₃	1.34
TiO ₂	1.19
Moisture	0.08
Loss on ignition	12
Total	99.68

* دائرة المسح الجيولوجي

- تحضير محلول pH = 3 يتم تحضير محلول بتركيز ١٪ من كلوريد الامونيوم واضافة محلول مخفف من HCl بتركيز(١٢%).
- تحضير محلول pH = 10 يتم بذاب 60gm من كلوريد الامونيوم في (1L) من الماء المقطر ويضاف اليه 120ml من الامونيا المركزه(25%) ويكمي الحجم لحد العلامة

تعيين λ_{max} ومنحني المعايرة لكل صبغة

لأجل تعين الطول الموجي لكل صبغة من خلال اجراء المسح الطيفي الالكتروني باستعمال التركيز المناسب لكل صبغة ومقارنته مع الادبيات وفق الجدول (٢) وتم المسح باستعمال جهاز مطياف الاشعة المرئية فوق البنفسجية وضمن المدى (-200nm - 800nm) كما يتضح في الاشكال (١٧، ١٨) ثم تم تحضير منحني المعايرة وذلك عن طريق تحضير (7- 10) تراكيز متاليه ضمن المدى (2- 50ppm) حسب نوعية الصبغة بعدها سجلت الامتصاصية لكل تركيز تم تحضيره واجريت عملية التصحيح للمنحنىات بطريقة Least Square (Method

تهيئة طين الكاوفولين:

تعالج الاطيان بالتجفيف اذا كانت رطبة ، ثم تسحق الاطيان لتتحول الى مسحوق ناعم وبعد ذلك يتم تفقيتها من الشوابن وذلك بعسلها عدة مرات بالماء المقطر ثم التجفيف^(٣).

تحضير المحاليل

تم في هذا البحث تحضير محاليل الصبغات وذلك بأذابة 0.05gm من كل صبغة في ١لتر(1000ml) من الماء المقطر وذلك لتحضير محاليل بتركيز 50ppm ومن هذه المحاليل تم تحضير المحاليل المخففة حسب نوع الصبغة وبتركيز تراوحـت (2-50ppm) ويتم معرفة زمن الاتزان بأخذ حجم من التركيز الأمثل للصبغة حوالي 0.02gm مع 30ml مختلـفة لمعرفة أفضل زمان للاتزان، كما تم تحضير محاليل دارنة ضمن الدالة الحامضية(pH=3,10)^(٤) وكما يلي:-

الجدول(٢): قيم λ_{max} للاصباغ قيد الدراسة

Dyes	$\lambda_{max}(nm)$	
	Literature	Observation
Neutral Red	540	529
Safranine O	530	519
Congo Red	497	498
Birlliant blue G250	610	592

السطح وهذا ما يؤكد شكل الايزوثيرم المتزايد بزيادة تركيز الامتازان ^(١٠)، مما يشير الى ان امتازان هذة الصبغات يتبع معادلة فرنلش ولانكمایر ^(١١).

$$\text{Log } Q_e = \log k_f + 1/n \log C_e$$

معادلة فرنلش

$$\text{معادلة لانكمایر}$$

$$C_e / Q_e = 1/k + \frac{a/k \cdot C_e}{}$$

تبين الاشكال (٥-٣) العلاقة الخطية والذي يتراوح معامل الارتباط (correlation coefficient) بين مستقيمات فرنلش ولانكمایر بحدود (-٠.٩٨٩ - ٠.٩٩٩). وقد تمت حساب ثوابت فرنلش لانكمایر (n, k_f, a, k) من العلاقة الخطية بعد المعالجة بطريقة (least square method) كما في الجدول (٥) ويمكن الاستدلال من خلال شكل الايزوثيرمات بان سعة الامتازان تتناقص وفق الترتيب الآتي:-

**Congo red > Birlliant blue G250 >
Safranine O > Neutral red**

ان التداخلات الحاصلة بين الصبغات والسطوح الحاوية على SiO_2 يمكن وصفها بتداخلات الكتروستاتيكية ، او اصوات هيدروجينية وقوى تناشر . ^(١٢,١٣)، ويرجع سبب زيادة الامتازان لكونه احمر مقارنة مع البرلت الازرق G250 هو احتواءها على مجامي عفالة لها القابلية على تكوين معقد مستقر على السطح واحتواهها على مجامي ساحبة الالكترونات التي تزيد من الفة الصبغة للسطح الماز وكذلک وجود مجموعة الازو التي تمتاز بثبات عالي وانتقامية وحساسية عالية وسرعة تفاعلهما مع الايونات الفلزية ^(١٤,١٧) بموقع البارا لذا سوف يجبر توجة الجزيئه بشكل عمودي واحتلالها مساحة سطحية صغيرة لذلك تزداد سعة الامتازان ^(١٨) بينما الملاحظ من صبغة البرلت الازرق G250 ان سعة امتازانها اقل يعود السبب لاحتواهها على مجامي (-

ولغرض ايجاد ايزوثيرم الامتازان تم تحضير ١ محليل من كل صبغة بتركيز (2-50ppm) في قاني حجمية سعة (100ml) ثم اخذ منها 30ml ووضعت في تماس مع 0.02gm من مسحوق الطين في بيكر سعة 100ml مجهز بسدام محكم ووضعت في حمام مائي ذو جهاز رج مسيطر على درجة حرارته لمدة ١/٢ ساعة وبدرجة 303K ثم تركت المادة لترى وبعد اخذ الرانق ووضع في انبوب اختبار وبعد سدها وضعت في جهاز الطرد المركزي لمدة 30min وبسرعة 3000rpm وخللت النماذج بجهاز مطياف الاشعة المرئية فوق البنفسجية لحساب كمية المادة الممتزة حسب المعادلة الآتية:- ^(٩)

$$Q_e = \frac{Vsol(Co-Ce)}{M}$$

حيث ان:-

$Vsol$ = الحجم الكلى لمحلول المادة الممتزة (L)

M = وزن المادة الماز (g)

Co = التركيز الابتدائى لمحلول المادة

(mg/L)

Ce = التركيز عند الاتزان لمحلول

المادة الممتزة (mg/L)

Qe = كمية المادة الممتزة (mg/g)

النتائج و المناقشة

ايزوثيرمات الامتازان.

تم حساب كمية المادة الممتزة (Q_e) المقابلة لكل قيمة من قيم تراكيز الامتازان (C_e) كما في الجدول (٤) و الشكل (٢,١)، وقد رسمت كمية الامتازان مقابل التراكيز المدروسة لاعطاء الشكل العام لايوزثيرمات الامتازان ووجد انهما من نوع (S_4, L_3, S_1) بحسب تصنيف جيلز (Giles)، كما يمكن الاستدلال من هذه الايزوثيرمات الى تداخل المادة الممتزة بالسطح الماز يجرى عبر انواع من القوى تعتمد على المادة الممتزة والمادة المازة اذ ان الجزيئات تكون بشكل عناقيد او صفوف عمودية على

الساحبة بالموقع بارا الذي لاتسبب اعقة فراغية وكذلك يقلل من تداخل الصبغة مع جزيئات الماء فترتفع الفته للسطح تاركا محلولها المائي وهذا يعمل على زيادة امتزازه على السطح^(١)، بينما قلة امتزاز صبغة الاحمر المتعادل هو لاحتواءها على مجاميع دافعة للاكترونات^(٢) بالإضافة الى تعويض المجاميع بموقعي الاورثو والميتا مما يؤدي الى ارتباط الجزيئه بوضع مائل بالسطح واحتلاتها مساحة سطحية كبيرة مما يؤدي الى نقصان الامتزاز.

CH3-C2H5-OCH3 ومن المعروف ان هذه المجاميع دافعة للاكترونات التي تقلل الالفة الاlectronic للحلقة وبالتالي تقليل استقرارية المعدن المحتمل تكونه مع السطح^(٣)، فضلا عن ميل هذه الصبغة لتكوين اواصر هيدروجينية مع الماء وتقليل من ميلها للسطح وهذا يعمل على تقليل سعة الامتزاز^(٤)، اما ارتفاع الامتزاز لصبغة السفرانين O مقارنة مع الاحمر المتعادل هو لاحتواها على حلقة البنزين وهي من المجاميع الساحبة للاكترونات التي تزيد من كمية الامتزاز وتعويض المجموعة

توصيلية المحاليل:-

تعد التوصيلية وسيلة من وسائل التحليل الكيميائي ، اذ يمكن التعرف على كمية الاملاح الموجودة في الماء

فعد اذابة الصبغة في الماء سوف تطلق ايوناتها وتتحرر متوزعة في المحلول بين جزيئات المذيب ، ففي حالة المحاليل المخففة جدا تكون الايونات متباudeة اي يتحرك كل ايون كما لو كان مستقلاً عن الاخر وبذلك سوف تزداد

Dye	Cond.befor adso. μs/cm ⁻¹	Cond.after adso. μs/cm ⁻¹	Equiv-number S.Cm ²	M.wt g/mole
Neutral Red	23.9	98.4	1.7×10^{-10}	288.78
Safranine O	19.0	72.2	1.42×10^{-10}	350.85
CongoRed	54.9	150.5	1.4×10^{-10}	696.67
Birlliant blue G250	27.5	127.7	2×10^{-8}	710.01

التوصيلية بينما في حالة المحاليل المركزية تقارب الايونات من بعضها البعض مما يؤدي الى نقصان التوصيلية ويمكن حساب التوصيلية وفق المعادلة الآتية^(٥):-

$$= K_{cell} \cdot X \quad \dots \dots \dots \quad (٥)$$

$(S.Cm^{-1})$ Conductivity

(Cm^{-1}) Cell Constant

(S) Conductance

الجدول (٣) قيم التوصيلية للاصباغ قيد الدراسة

سريعة في حركتها انقل التيار الكهربائي داخل المحلول.

تأثير درجة الحرارة:-

اظهرت نتائج الدراسة تاثير درجة الحرارة في عملية امتزاز الصبغات على سطح طين الكاوفولين العراقي ، وان الامتزاز يزداد بارتفاع درجة الحرارة بالنسبة لصبغة الكونوكا احمر وفي المدى الحراري التجاري $(333K-303K)$ كما في الجدول^(٦) والشكل^(٧) اي ان العملية ماصة للحرارة (Endothermic) وهذا يعني دلالة لوجود عملية امتصاص اذ تنتشر الجزيئات الممتزة داخل المسام وتزداد سرعة انتشارها بزيادة درجة الحرارة^(٨). بينما في الصبغات الاخرى تكون عملية الامتزاز باعثة للحرارة (Exothermic) ، اي بزيادة درجة الحرارة يقل الامتزاز اذ ان

الجزئيات الممتزة على السطح تقل سرعة انتشارها مما يؤدي الى انخفاض الفعل المتبادل بين الصبغة

σ :- التوصيلية

K_{cell} :- ثابت الخلية

X = التوصيل

وتبيّن النتائج في الجدول (٣) ان توصيلية المحاليل قبل الامتزاز قليلة مقارنة بقيمتها بعد الامتزاز، ويرجع السبب في ذلك الى انه عند اذابة الاصباغ في الماء المقطر في البداية يكون تركيزها عاليًا لذلك سوف تبقى الايونات الموجبة والسلبية للصبغة قريبة من بعضها البعض . ويحدث تبادل مستمر بين ايونات الازواج الايونية المختلفة والمزدوج الايوني هو ليس بجزينة ولكنه يسلك كما لو كان جزينة غير مفككة لذا فانه لا يسهم في حمل التيار حيث بازدياد تركيز الازواج الايونية سوف تقل التوصيلية لأن جزءا من تركيز الاكتروليت يصبح مقيداً في تجمعات ايونية غير قادرة على حمل التيار بينما نلاحظ ان بعد الامتزاز سوف يمتنزز الجزء الاكبر من الصبغة وبذلك تقل عدد الازواج الايونية مما يؤدي الى ان تكون

توصيلية المحلول المائي المتبقى عالية بسبب توفر ايونات الهيدروجين والهيدروكسيل والتي تكون

والسطح^(١) كما في الجداول^{(٦)،(٧)،(٨)} والأشكال^{(٦)،(٧)،(٨)}.

تأثير الدالة الحامضية:-

تمت دراسة تأثير الدالة الحامضية في امتراز الصبغات والملاحظ من النتائج أن للدالة الحامضية تأثير مختلف على الصبغات فقسم من الصبغات احادية اللون (برلنت الأزرق G250، السفرانين O) والآخرى ثنائية اللون (كونوكو الأحمر، الأحمر المتعادل) وذلك لتغيير الوانها (٢٢)، المعروف ان ايون الهاييدروجين يؤثر على درجة التأين للصبغة والسطح الماز^(٢٣،٢٤) يتضح من الجداول (١١)، (١٢)، (١٣)، (١٤)، (١٥)، والأشكال (١١)، (١٢)، (١٣)، تبين ايزوثيرمات الامتراز واظهرت النتائج كمية المادة الممتزة تزداد مع تغير الدالة الحامضية بالنسبة لصبغة الكونوكو الأحمر حسب الترتيب الآتي:-

pH 10 > 7

وبنسبة للأحمر المتعادل وفق الترتيب الآتي:-

pH 7 > 3

اما صبغي البرلنت الأزرق G250، والسفرانين O حسب الترتيب الآتي:-

pH 7 > 3 > 10

يرجع السبب لزيادة الامتراز للوسط القاعدي لزيادة فعالية المجاميع الحامضية بينما تقل فعالية المجاميع القاعدية وزيادة فرص التداخل الألكتروستاتيكي اما في الوسط الحامضي يعود لميل الصبغة للارتباط بالسطح اكثراً من ميلها للارتباط مع جزيئات المذيب

حساب دوال الدينمية الحرارية:

يبين الجدول (١٠) قيم دوال الدينمية الحرارية $\Delta S, \Delta H, \Delta G$ تشير النتائج التجريبية ان كمية امتراز الكونوكو الاحمر تزداد بزيادة درجة الحرارة وهذا يتطابق مع الخواص الترموديناميكية وتلاحظ من قيمة (ΔH) الموجبة ان العملية ماصة للحرارة **Endothermic process** (١) فعندما تكون العملية ماصة للحرارة هذا دليل على وجود عملية امتصاص **Absorption** بالإضافة لعملية الامتراز اذ بزيادة درجة الحرارة الجزيئات الممتزة على السطح تنتشر داخل المسام وتزداد سرعة انتشارها وهذا يتفق مع بعض الدراسات^(٢). وتشير النتائج التجريبية الى ان امتراز اصياغ الأحمر المتعادل ، السفرانين O ، البرلنت الأزرق G250 ، تقل بزيادة درجة الحرارة ويتطابق مع الخواص الترموديناميكية وتلاحظ من قيمة (ΔH) السالبة ان العملية باعثة للحرارة **Exothermic process** (٣) وهذا يدل على ان العملية هي عملية امتراز فقط ويدل ايضاً على ان الجزيئات الممتزة المنتشرة على السطح تقل سرعة انتشارها مما يؤدي الى انخفاض الفعل المتبادل بين السطح والجزئية الممتزة ومع زيادة درجة الحرارة سوف تنفصل الروابط فيما بينها^(٤). ويتبين ان جميع قيم ΔG كانت سالبة وهذا يعني ان امتراز الاصياغ تلقائي (Spontaneous) ضمن هذه الظروف^(٥) ، كما تبين ان قيمة ΔS الموجبة تدل على ان الجزيئات الممتزة لا تزال في حركة مستمرة على السطح وأما ΔS السالبة تشير الى ان الجزيئات الممتزة تتنظم على السطح .

الجدول (٤) امتراز الصبغات قيد الدراسة على سطح طين الكاوفولين العراقي الابيض بدرجة حرارة 30°C

Neutral Red

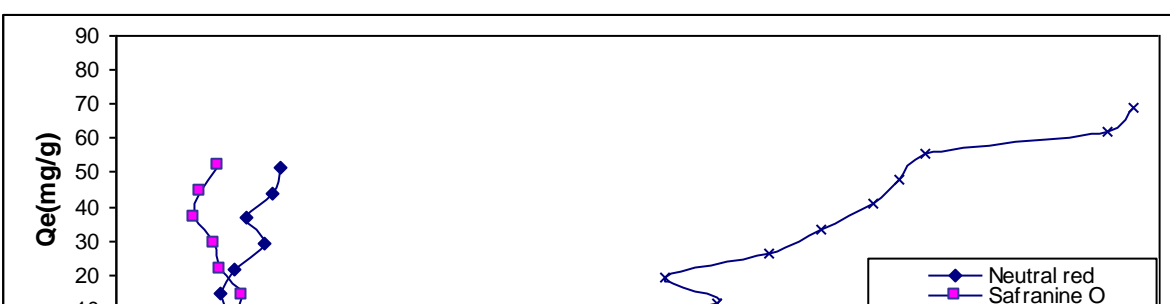
Safranine O

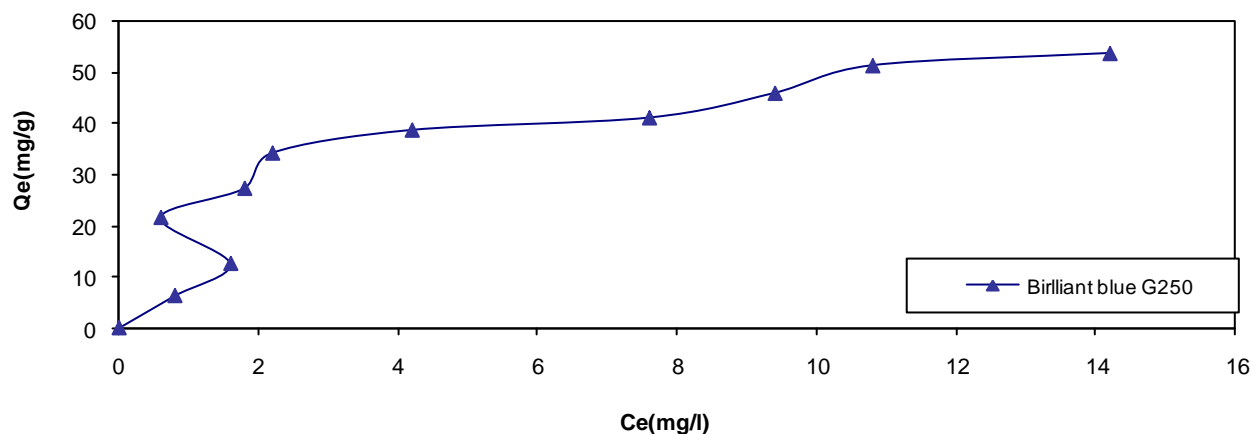
Co mg/L	Ce mg/L	Qe mg/g	Ce/Qe g/L	-log Ce mg/L	Log Qe mg/g	Co mg/L	Ce mg/L	Qe mg/g	-log Ce mg/L	Log Qe mg/g
5	0.41	6.9	0.027	0.39	1.158	5	0.41	6.9	0.31	1.155
10	0.4	14.4	0.020	0.34	1.338	10	0.48	14.3	0.39	1.340
15	0.45	21.8	0.019	0.24	1.463	15	0.4	21.9	0.42	1.467
20	0.57	29.1	0.013	0.30	1.565	20	0.38	29.43	0.52	1.568
25	0.5	36.8	0.015	0.22	1.643	25	0.30	37.05	0.49	1.648
30	0.6	44.0	0.012	0.20	1.713	30	0.32	44.5		
35	0.63	51.6				35	0.39	51.93		

Birlliant blue G250

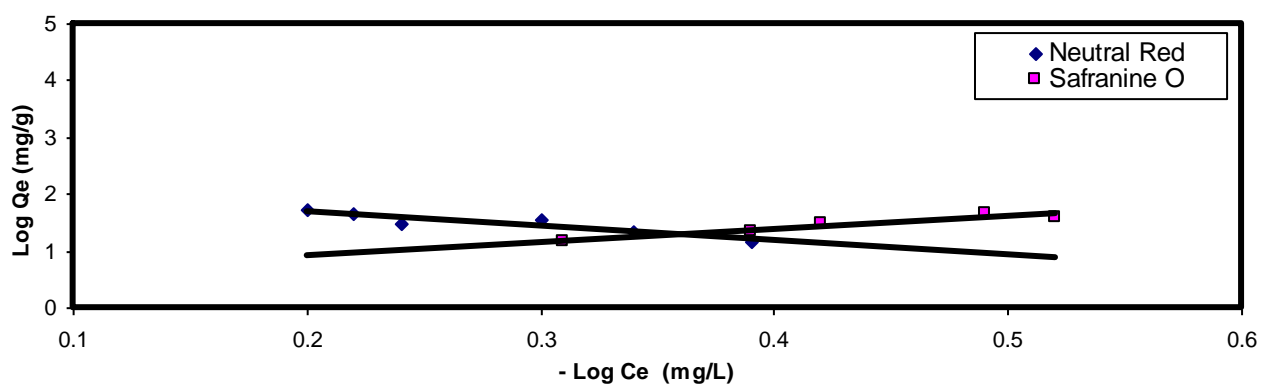
CongoRed

Co mg/L	Ce mg/L	Qe mg/g	Ce/Qe g/L	log Ce mg/L	Log Qe mg/g	Co mg/L	Ce mg/L	Qe mg/g	log Ce mg/L	Log Qe mg/g
5	0.8	6.3	0.07	0.25	1.43	5	1.62	5.0	0.32	1.28
10	1.6	12.6	0.06	0.35	1.53	10	2.3	11.55	0.41	1.41
15	0.6	21.6	0.10	0.62	1.58	15	2.1	19.35	0.43	1.52
20	1.8	27.3	0.18	0.88	1.61	20	2.5	26.2	0.45	1.60
25	2.2	34.2	0.20	0.97	1.66	25	2.7	33.55	0.47	1.68
30	4.2	38.7	0.21	1.03	1.71	30	2.9	40.65	0.49	1.74
35	7.6	41.1	0.26	1.15	1.72	35	3	48.0	0.57	1.79
40	9.4	45.9				40	3.1	55.35	0.59	1.842
45	10.8	51.3				45	3.8	61.8		
50	14.2	53.7				50	3.9	69.15		

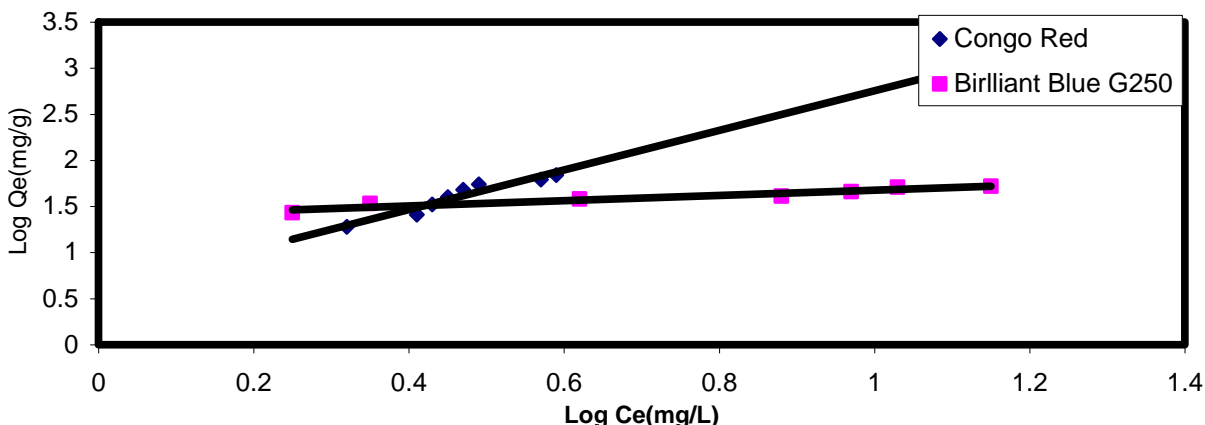




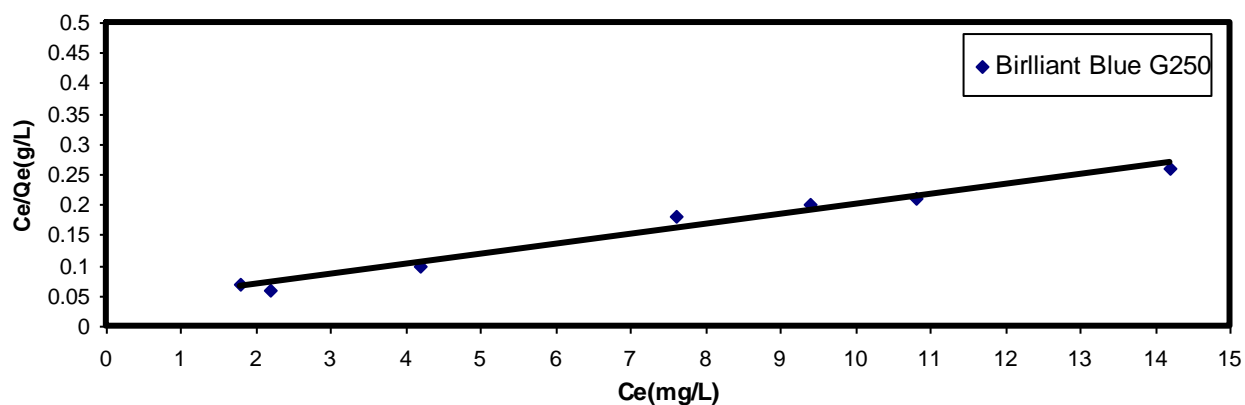
الشكل(٢): ايزوثيرم امتراز البرلنت الازرق جي ٢٥٠ على سطح طين الكاولين العراقي بدرجة حرارة ٣٠٣ K



الشكل(٣): مستقيمات فرنديش لامتراز Neutral Red,SafranineO على سطح طين الكاولين العراقي الابيض



الشكل (٤): مستقيمات فرنديش لامتراز Congo Red,Brilliant Blue250 على سطح طين الكاولين العراقي الأبيض



الشكل (٥): مستقيمات لأنكمایر لامتراز Brilliant blue على سطح طين الكاولين العراقي الأبيض

الجدول (٥) قيم ثوابت فرنديش ولأنكمایر للصبغات قيد الدراسة

Dye	Neutral Red	Safranine O	Birlliant blue G250	Congo Red
n	-0.3529	-0.5405	+5.4644	+0.3777
logKf	2.28	0.65	1.43	0.63
a	-	-	0.461	-
k	-	-	30.3	-

الجدول (٦) : تأثير درجة الحرارة في امتراز الاحمر المتعادل على سطح طين الكاولين العراقي الأبيض في المدى الحراري التجريبي (303-333K)

303K			313K			323K			333K		
Co	Ce	Qe	Co	Ce	Qe	Co	Ce	Qe	Co	Ce	Qe
5	0.41	6.9	5	0.45	6.8	5	0.64	6.15	5	0.9	6.2
10	0.4	14.4	10	0.5	14.3	10	0.83	13.75	10	1.08	13.4
15	0.45	21.8	15	0.7	21.5	15	0.79	21.3	15	0.92	21.1
20	0.57	29.1	20	0.64	29.0	20	0.68	28.9	20	1.1	28.4
25	0.5	36.8	25	0.52	36.7	25	0.6	36.6	25	0.773	36.3
30	0.6	44.0	30	0.78	43.8	30	0.82	43.7	30	0.88	43.7
35	0.63	51.6	35	0.99	51.0	35	1.1	50.9	35	1.31	50.5

الجدول (٧) : تأثير درجة الحرارة في امتراز السفرانين O على سطح طين الكاوفولين العراقي الأبيض في المدى الحراري التجريبي (303-333K)

303K			313K			323K			333K		
Co	Ce	Qe	Co	Ce	Qe	Co	Ce	Qe	Co	Ce	Qe
5	0.41	6.9	5	0.42	6.87	5	0.43	6.85	5	0.5	6.7
10	0.48	14.3	10	0.5	14.2	10	0.6	14.1	10	0.63	14.0
15	0.4	21.9	15	0.41	21.88	15	0.44	21.84	15	0.6	21.6
20	0.38	29.43	20	0.43	29.35	20	0.51	29.2	20	0.56	29.1
25	0.30	37.05	25	0.32	37.02	25	0.43	36.8	25	0.55	36.6
30	0.32	44.5	30	0.4	44.8	30	0.41	44.3	30	0.48	44.2
35	0.39	51.93	35	0.46	51.81	35	0.5	51.7	35	0.6	51.6

الجدول (٨) : تأثير درجة الحرارة في امتراز البرلنت الازرق G250 على سطح طين الكاوفولي العراقي الأبيض في المدى الحراري التجريبي (303-333K)

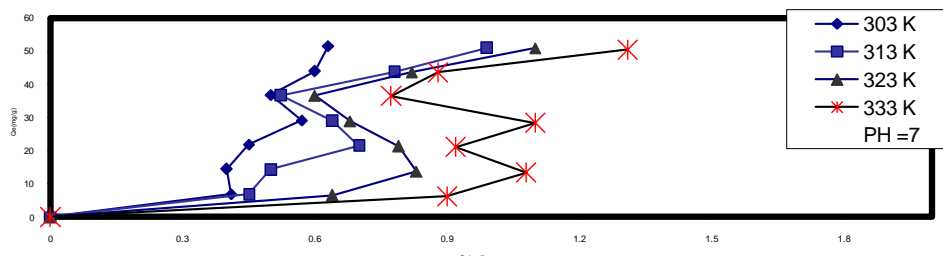
303K			313K			323K			333K		
Co	Ce	Qe									
5	0.8	6.3	5	1.4	5.4	5	1.6	5.1	5	1.8	4.8
10	1.6	12.6	10	1.8	12.3	10	2.2	11.7	10	2.4	11.4
15	0.6	21.6	15	0.8	21.3	15	1.8	19.8	15	2.2	19.2
20	1.8	27.3	20	2.2	26.7	20	2.4	26.4	20	4.8	22.8
25	2.2	34.3	25	5.2	29.7	25	5.4	29.4	25	6.4	27.9
30	4.2	38.7	30	5.62	37.1	30	6.4	35.4	30	8.0	33.0
35	7.6	41.1	35	8.0	40.5	35	8.2	40.2	35	8.6	39.6
40	9.4	45.9	40	11.0	43.5	40	12.6	41.4	40	13.2	40.2
45	10.8	51.3	45	12.0	49.5	45	13.2	47.7	45	16.0	43.5
50	14.2	53.7	50	14.4	53.4	50	15.0	52.5	50	20.4	44.4

الجدول (٩) : تأثير درجة الحرارة في امتراز الكونوكو الاحمر على سطح طين الكاوفولين العراقي الأبيض في المدى الحراري التجريبي (303-333K)

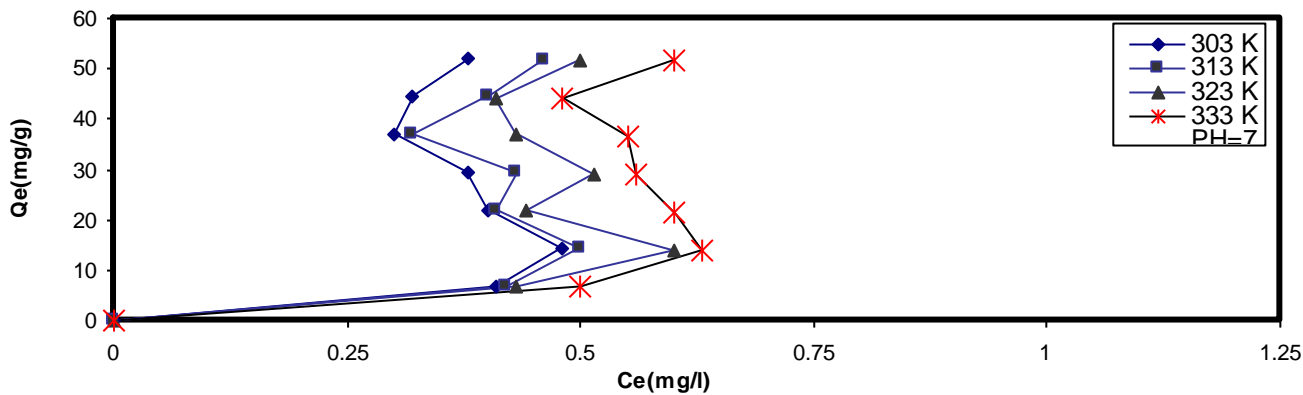
303K			313K			323K			333K		
Co	Ce	Qe									
5	1.62	5.0	5	1.6	5.1	5	1.4	5.4	5	1.3	5.6
10	2.3	11.55	10	2.1	11.85	10	2	12.0	10	1.8	12.3
15	2.1	19.35	15	2.0	19.5	15	1.9	19.65	15	1.85	19.72
20	2.6	26.2	20	2.5	26.3	20	2.4	26.4	20	2	27.0
25	2.7	33.55	25	2.2	34.2	25	2.02	34.5	25	1.9	34.6
30	2.9	40.65	30	2.6	41.1	30	2.43	41.35	30	2.2	41.7
35	3	48.0	35	2.65	48.5	35	2.41	48.8	35	2.4	48.9
40	3.1	55.35	40	2.7	55.9	40	2.6	56.1	40	2.5	56.3
45	3.0	63.0	45	2.25	64.1	45	2.1	64.35	45	2	64.5
50	3.9	69.15	50	3.2	70.2	50	3.1	70.3	50	3.0	70.5

الجدول (١٠) : قيم ΔH , ΔG , ΔS ، ثابت معادلة فانت هو夫 للاصباغ قيد الدراسة وبدرجة حرارة (303K)

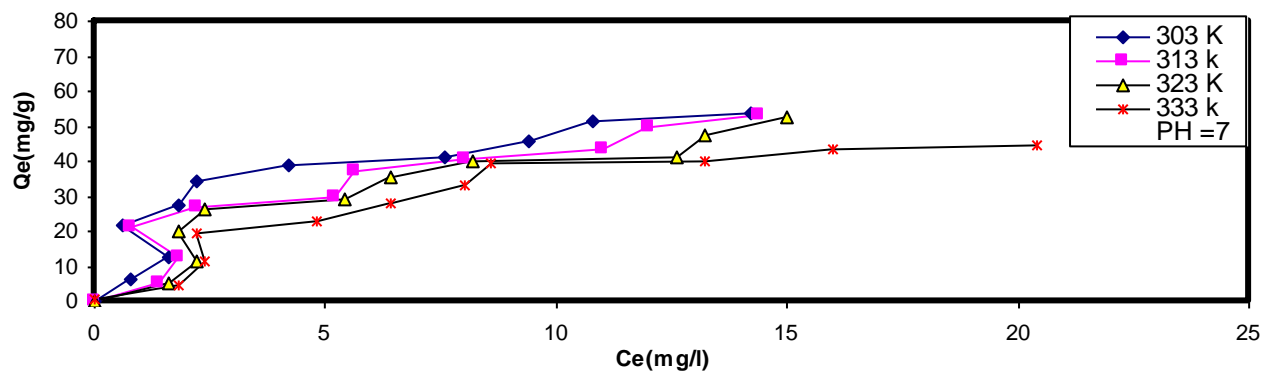
Dyes	$\Delta H(KJ.mol^{-1})$	$\Delta G(KJ.mol^{-1})$	$\Delta S(J.mol^{-1})$	Cons.
Neutral Red	-10.5008	-11.0982	+1.9716	1.701
Safranine O	-3.6085	-12.387	+28.97	1.711
Birlliant blue G250	-15.780	-3.350	-41.022	1.651
Congo Red	+1.7926	-7.229	+62.78	1.85



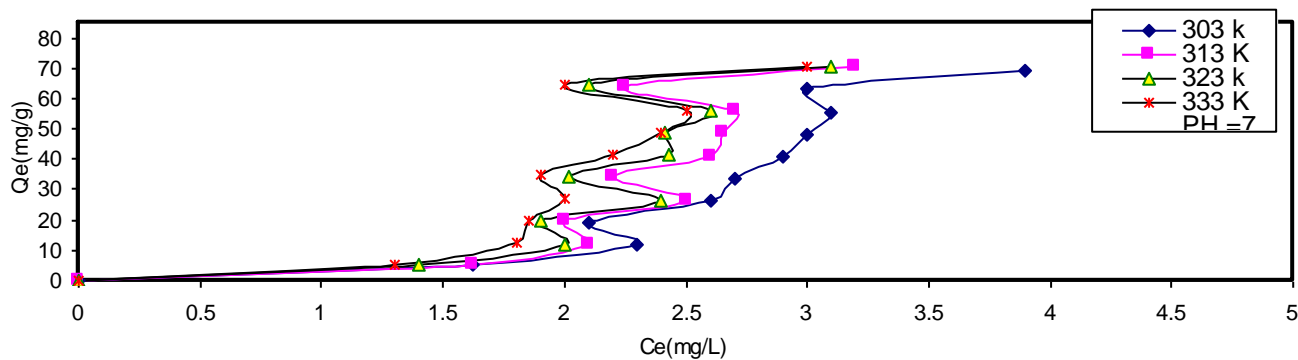
الشكل (٦): تأثير درجة الحرارة في امتراز Neutral Red على سطح طين الكاولين العراقي الابيض في المدى الحراري التجريبي (303-333K)



الشكل (٧): تأثير درجة الحرارة في امتراز SafranineO على سطح طين الكاولين العراقي الابيض في المدى الحراري (303-333K)



الشكل (٨): تأثير درجة الحرارة في امتراز Birlliant Blue G250 على سطح طين الكاولين العراقي في المدى الحراري التجاري (303-333K)



الشكل (٩): تأثير درجة الحرارة في امتراز Congo Red على سطح طين الكاولين العراقي الابيض في المدى الحراري التجاري (303-333K)

الجدول (١١) : تأثير الدالة الحامضية في امتراز الاحمر المتعادل على سطح طين الكاولين العراقي الابيض وبدرجة حرارة 303K

pH=10			pH=7			pH=3		
Co mg/L	Ce mg/L	Qe mg/g	Co mg/L	Ce mg/L	Qe mg/g	Co mg/L	Ce mg/L	Qe mg/g
10	0.70	13.6	10	0.4	14.4	10	0.22	14.7
15	0.98	21.1	15	0.45	21.8	15	0.3	22.1
20	1.2	28.2	20	0.57	29.1	20	0.23	29.6
25	1.25	35.6	25	0.5	36.8	25	0.4	36.9
30	1.44	42.8	30	0.6	44.0	30	0.2	44.7
35	1.5	50.1	35	0.63	51.6	35	0.5	51.8

الجدول (١٢) : تأثير الدالة الحامضية في امتزاز السفرانين O على سطح طين الكاوفلين العراقي الابيض ودرجة حرارة 303K

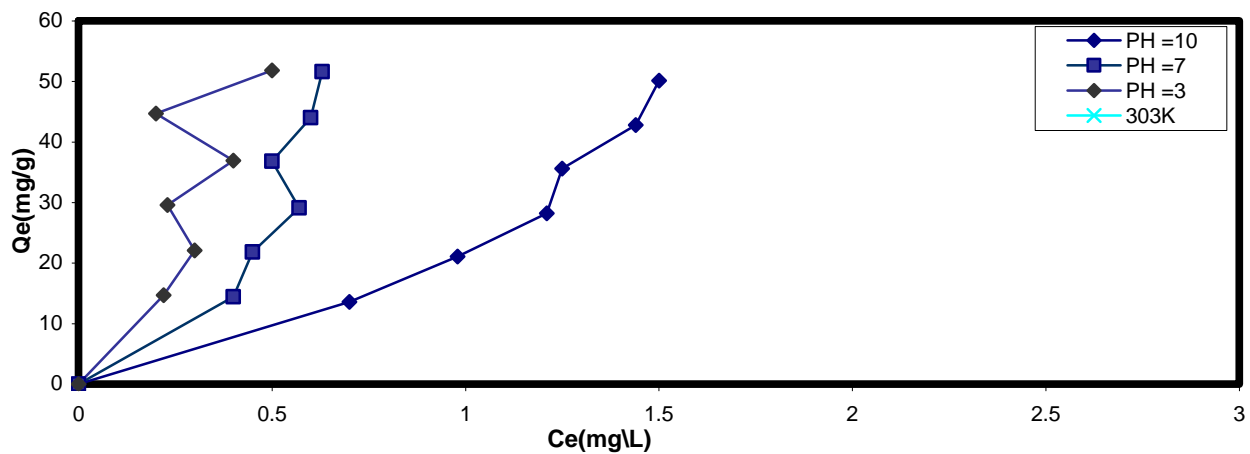
pH=10			pH=7			pH=3		
Co mg/L	Ce mg/L	Qe mg/g	Co mg/L	Ce mg/L	Qe mg/g	Co mg/L	Ce mg/L	Qe mg/g
10	0.55	14.1	10	0.48	14.3	10	0.5	14.2
15	0.63	21.6	15	0.4	21.9	15	0.45	21.8
20	0.69	28.9	20	0.38	29.43	20	0.51	29.3
25	0.6	36.6	25	0.3	37.05	25	0.46	36.8
30	0.8	43.8	30	0.32	44.5	30	0.42	44.4
35	0.91	51.11	35	0.39	51.93	35	0.5	51.7

الجدول (١٣) : تأثير الدالة الحامضية في امتزاز البرلنت الازرق G250 على سطح طين الكاوفلين العراقي الابيض ودرجة حرارة 303K

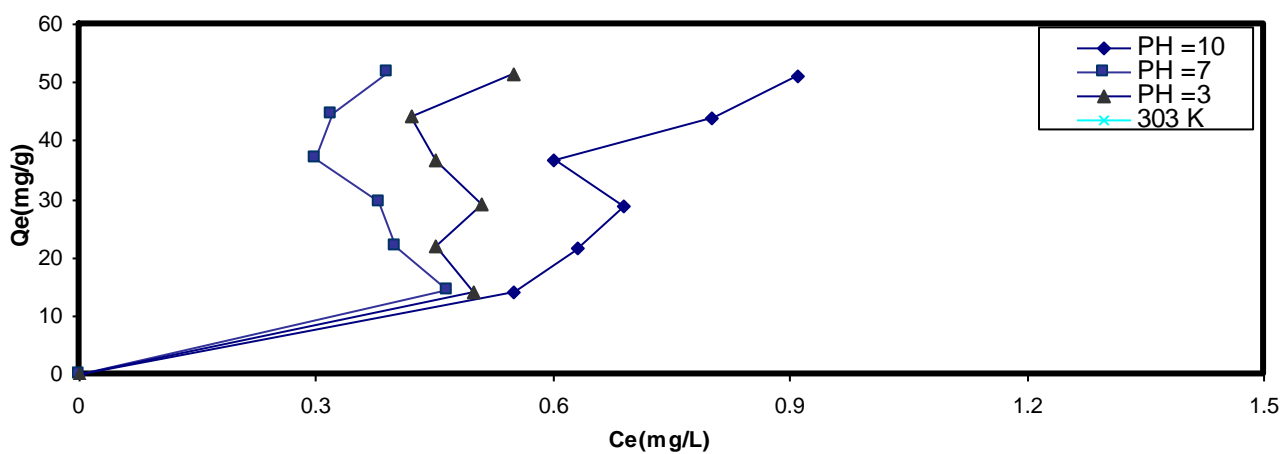
pH=10			pH=7			pH=3		
Co mg/L	Ce mg/L	Qe mg/g	Co mg/L	Ce mg/L	Qe mg/g	Co mg/L	Ce mg/L	Qe mg/g
10	2.1	11.8	10	1.6	12.6	10	2	12.0
15	5.6	14.1	15	0.6	21.6	15	2.6	18.6
20	7.0	19.5	20	1.8	27.3	20	3	25.5
25	5.9	28.65	25	2.2	34.2	25	4.8	30.3
35	10.2	36.6	35	7.6	41.1	35	9.2	38.7
40	12.1	41.9	40	9.4	45.9	40	10.2	44.7
45	14.6	45.6	45	10.8	51.3	45	12.4	48.9

الجدول (١٤) : تأثير الدالة الحامضية في امتزاز الكونوك الااحمر على سطح طين الكاوفلين العراقي الابيض ودرجة حرارة 303K

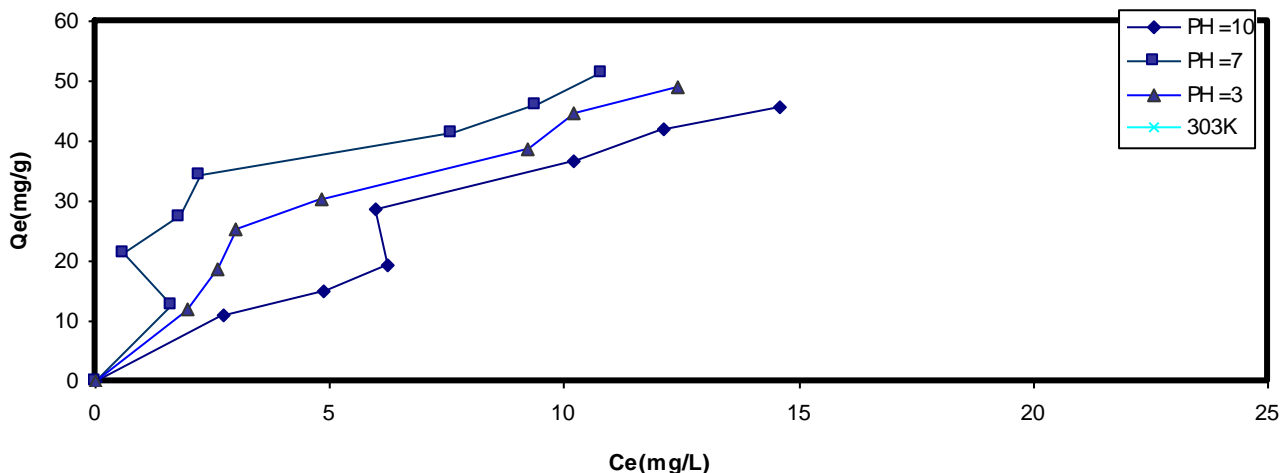
pH=10			pH=7			pH=3		
Co mg/L	Ce mg/L	Qe mg/g	Co mg/L	Ce mg/L	Qe mg/g	Co mg/L	Ce mg/L	Qe mg/g
5	1.1	5.9	5	1.62	5.0	5	1.4	5.4
10	1.31	13.0	10	2.3	11.55	10	1.7	12.42
20	1.3	28.1	20	2.5	26.2	20	1.5	27.75
25	1	36.0	25	2.7	33.55	25	1.62	35.07
30	1.32	43.0	30	2.9	40.65	30	1.6	42.6
35	1.11	50.9	35	3	48.0	35	1.63	50.06
40	0.9	58.7	40	3.1	55.35	40	1.81	57.28
45	1.2	65.7	45	3.8	61.8	45	1.9	64.6



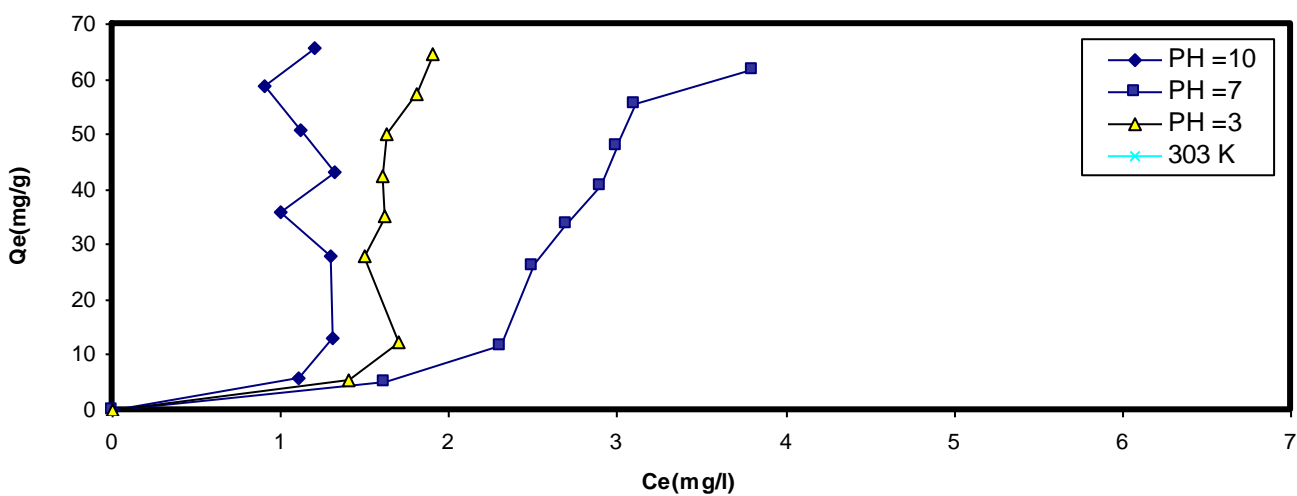
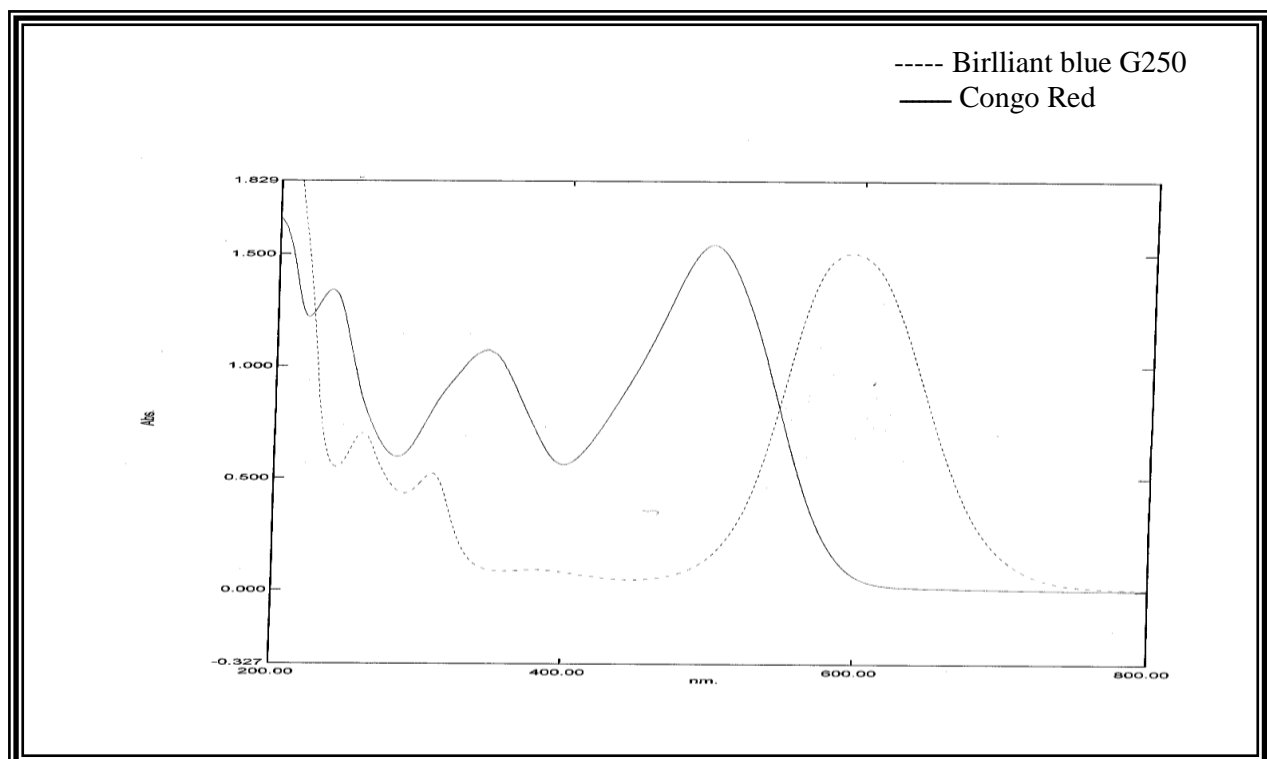
الشكل (١٠): تأثير الدالة الحامضية في امتراز Neutral Red على سطح طين الكاوزولين العراقي الابيض



الشكل (١١): تأثير الدالة الحامضية في امتراز Safranine O على سطح طين الكاوزولين العراقي الابيض

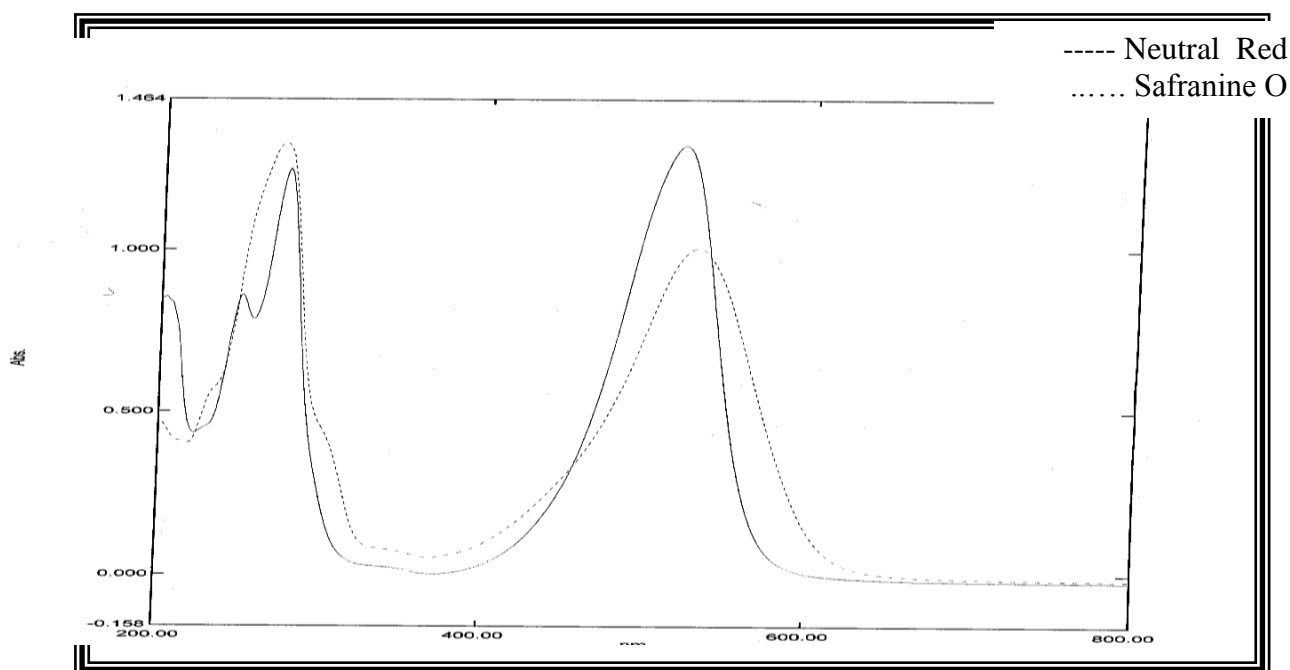


الشكل (١٢): تأثير الدالة الحامضية في امتراز Birlliant Blue G250 على سطح طين الكاوزولين العراقي الابيض



الشكل (١٣): تأثير الدالة الحامضية في امتراز Congo Red على سطح طين الكاولين العراقي الابيض

الشكل(١٧): طيف الاشعة المرئية - فوق البنفسجية للصبغات الكونكو الاحمر ، البرلتنت الازرق G250



الشكل(١٨): طيف الاشعة المرئية - فوق البنفسجية للصبغات الاحمر المتعادل ، السفرانين O

٨. Mare Zenko Z., spectrophotometric Determination of elements , Jhon Wiley and Sons , New York,(1976).
٩. Murrel J.N.and Bucher E.A., properties of Liquids and solution Jhon Wiley and Sons , New York , 255,(1982).
- ١٠.Kipling J.J,Adsorption from solution of Non-Electrolytes,Academic press,New York,London(1965)
- ١١.Al-Bahani K.S.and Matin R.J,wat.Res10(6),731-736,(1976)
- ١٢.Kaneko S.,Saitoh H.,Maejima Y.and Nakamura M.,Anal.letters, 22(6), 1631-1641,(1989).
١٣. Giles C.H.,Easton I.A.,Mckay R.B.,Patel C.C,shan N.B.,and Smith D., Trans . Faraday Soc.,62,1966-1975,(1966).
١٤. Naber M.V. and Athawate V.D.,Inermochim, Acta , 97,85(1986).
١٥. Koren M., and Sirok M., Micro chemical .J. 30,284,(1984).

References:-

١. حمد،ابتسام و علي نظام ،عدنان ،الاخطر الصحية الناجمة عن استهلاك الخضار بمياه بردى جامعة حلب
بردى جامعة حلب (١٩٩٦) ٦-١
٢. علي نظام، عدنان وحمد ، دراسة تحليلية جوشومية لمياه ابار الري،جامعة تشرين اللاذقية ،١١ / ٩-٤ ، (٢٠٠٠) ١١ / ٩-
٣. علي نظام، عدنان وحمد، المؤشرات الفيزيائية الكيميائية والجرثومية الصحية،مجلة ابحاث البيئة والتنمية المستدامة ،المجلد ٤ ،العدد ١ ، (٢٠٠١)
٤. علي نظام، عدنان وسعود،ريم،مساهمة في دراسة الجراثيم في الانهر،سلسلة العلوم الأساسية، العدد ٣٤ ، (٢٠٠١)
٥. الطيب، نوري طاهر، جرار، بشير محمود، تلوث المياه، العدد ٢٠ ، مؤسسة الصحافة اليمامة، (١٩٩٥)
٦. خولة كاني جاسم ، قابلية اطيان الكاوفولين في امتصاص التولوين والانلين وبعض مشتقاتهما، رسالة ماجستير ، كلية التربية للبنات ، جامعة الكوفة (٢٠٠٣)
- . Haydn H. Murray , clay comm . Verical ,10,Jordon ,(2000)

16. Lobinski R.,and marezenko Z.,crit. Rev.Anal. chem . 23 , 55(1999).

17. Fokri N.A. and Derkran S. B., J.of Edua . university of Salahaddin , 2,223,(1990).

18. Wright,E.H.M., chem. Soc (B).pp.355-360(1960).

19. Keith M.C.Davis ,J.chem .Soc.Faraday Trans.1,69,1117-1126,(1973).

20.الدكتور جلال محمد صالح ، الكيمياء الكهربائية ، الطبعة الثانية ، جامعة بغداد ، كلية العلوم ، ص ٨٢-٢٢ ، (١٩٩٢).

21.Rovi V.P., Jasra R.V. and Bhat T.S.G.,J.chem. technol .Biotechnol 71,173-179,(1998).

22. Eli Grushka and Edward J.Kikta ,Jr,"Analytical chamstry",46(11),1370-1375,(1974).

23- Skoog D.A. and west D.M.,"Fundamentals of analytical chemistry , pp.257,(1989).

24. Moreira R.F.P.M.,Peruch M.G.and kuhnen N.C.Braz.J.Chem. Eng. 15.1,(1998).

25. Kipling J.J.,Adsorption from solution of Non.electrolytes Academic press , London , (1965).